

# 14MeV 钕的同位素反应截面的测量

蒲忠胜<sup>1;1)</sup> 孔祥忠<sup>2</sup> 魏国从<sup>1</sup>

1(兰州理工大学物理系 兰州 730050)

2(兰州大学现代物理系 兰州 730000)

**摘要** 报道了在 13.5—14.6MeV 中子能区用活化法以<sup>93</sup>Nb(n,2n)<sup>92m</sup>Nb 反应截面为中子注量标准测得的<sup>150</sup>Nd(n,2n)<sup>149</sup>Nd, <sup>148</sup>Nd(n,2n)<sup>147</sup>Nd 和<sup>142</sup>Nd(n,2n)<sup>141</sup>Nd 的反应截面值. 由 13.5 ± 0.2, 14.1 ± 0.1 和 14.6 ± 0.2MeV 中子引起的<sup>150</sup>Nd(n,2n)<sup>149</sup>Nd 反应截面值分别为 2037 ± 85, 1737 ± 68, 1657 ± 65mb, <sup>148</sup>Nd(n,2n)<sup>147</sup>Nd 反应截面值分别为 1394 ± 58, 1416 ± 54, 1956 ± 76mb, <sup>142</sup>Nd(n,2n)<sup>141</sup>Nd 反应截面值分别为 1501 ± 59, 1623 ± 62, 1764 ± 111mb. 单能中子由 T(d,n)<sup>4</sup>He 反应获得. 文中还收集了已发表的数据以作比较.

**关键词** 钕 反应截面 活化法

## 1 引言

核反应截面是核物理的重要研究课题之一. 它能揭示入射粒子和靶核相互作用机制, 加深对核力、核结构的认识, 也是核技术和核能利用的基础数据, 特别是在核反应理论模型的建立和完善, 聚变反应堆的设计, 军用核测试数据库的建设以及天体物理方面有重要意义. 在 14MeV 能区, 钕的同位素的反应截面曾有许多人进行过测量<sup>[1—15]</sup>, 各家数据之间有分歧, 所以进一步精确测量钕的同位素的反应截面是十分重要的.

## 2 实验过程

样品照射是在中国科学院近代物理研究所 T-600 型中子发生器上进行的. 以 T(d,n)<sup>4</sup>He 反应作中子源, 平均氘束能量  $\bar{E}_d = 150\text{keV}$ , 束流强度  $I_d \approx 1\text{mA}$ , 氚-钛靶厚为  $1.5\text{mg/cm}^2$ . 中子产额的变化用  $\alpha$  伴随粒子法监督, 以便对中子注量波动进行修正, 中子产额为  $4 \sim 8 \times 10^{10}\text{s}^{-1}$ . 3 组样品分别放在与入射氘束方向成  $45^\circ$ ,  $90^\circ$  和  $135^\circ$  的角度上照射. 中子能量是用<sup>93</sup>Nb(n,2n)<sup>92m</sup>Nb 和<sup>90</sup>Zr(n,2n)<sup>89m+g</sup>Zr 截面比

法测定的<sup>[16]</sup>. 这 3 处的中子能量分别为 13.5, 14.1 和 14.6MeV. 钨样品为直径 20mm 的天然金属圆片, 纯度为 99.99%, 而钕样品是纯度为 99.9% 的氧化物粉末, 首先将氧化物粉末倒入加热的聚乙烯醇中, 搅拌均匀, 放置几天后, 压制成不同厚度而直径为 2cm 的圆片. 每组样品均由两片钨样品夹一片钕样品组成.

<sup>149</sup>Nd, <sup>147</sup>Nd, <sup>141</sup>Nd 和<sup>92m</sup>Nb 的  $\gamma$  放射性活度是用国产 CH8403 同轴高纯锗  $\gamma$  谱仪测量, 相对效率为 20%, 对 1.33keV $\gamma$  的能量分辨率为 3keV. 对探测器的  $\gamma$  探测效率进行了精确刻度, 把美国国家标准局生产的 SRM4275 (Standard Reference Material 4275) 型标准点源放在距离纯锗晶体 20cm 处进行该处的绝对效率刻度, 得出绝对刻度曲线. 标准源的误差小于 1%. 剩余核的半衰期,  $\gamma$  射线能量和强度以及靶核丰度列于表 1 中, 这些数据取自文献[17]. 很多剩余核的退激有级联辐射产生, 造成和峰效应, 当样品与探测器表面的距离约为 2cm 时, 对截面测量的影响有时可达 10%—30% 之多, 因此这项修正很重要. 若样品与探测器的距离较远 ( $\sim 20\text{cm}$ ), 级联效应很小, 可以忽略. 在本次测量中, 由于样品和探测器之间的距离在 2cm 处, 因此对级联效应必须修正. 在

计算 $\gamma$ 放射性活度时,对中子注量的波动、 $\gamma$ 射线在样品中的自吸收、级联效应及测量几何进行了校正.

表1 靶核丰度和产物核衰变数据

靶核丰度(%)	反应道	半衰期	$E_\gamma/\text{keV}$	$I_\gamma(\%)$
5.64	$^{150}\text{Nd}(n,2n)^{149}\text{Nd}$	1.728h	211.309	25.9
5.76	$^{148}\text{Nd}(n,2n)^{147}\text{Nd}$	10.98d	531.016	13.0851
27.13	$^{142}\text{Nd}(n,2n)^{141}\text{Nd}$	2.49h	145.4	0.24
100	$^{93}\text{Nb}(n,2n)^{92m}\text{Nb}$	10.15d	934.43	99.07

### 3 实验结果及讨论

反应截面的计算公式如下<sup>[18]</sup>:

$$\sigma_X = \frac{[\epsilon \cdot I_\gamma \cdot \eta \cdot K \cdot S \cdot M \cdot D]_0}{[\epsilon \cdot I_\gamma \cdot \eta \cdot K \cdot S \cdot M \cdot D]_X} \cdot \frac{[\lambda \cdot A \cdot F \cdot C]_X}{[\lambda \cdot A \cdot F \cdot C]_0} \cdot \sigma_0,$$

其中下标“X”和“0”分别表示钕样品和铌监督片的值, $\epsilon$ 为所测的特征 $\gamma$ 射线全能峰效率; $I_\gamma$ 为特征 $\gamma$ 射线的强度; $\eta$ 为所测核素的同位素丰度; $S = 1 - e^{-\lambda T}$ 表示剩余核的生长因子; $\lambda$ 为衰变常量, $T$ 是样品的照射时间; $M$ 为样品质量; $D = e^{-\lambda t_1} - e^{-\lambda t_2}$ 为测量收集因子, $t_1$ 为从照射开始到测量开始的时间间隔, $t_2$ 为从照射结束到测量结束的时间间隔; $A$ 为样品元素的原子量; $C$ 为实测的全能峰面积; $F$ 为总的 $\gamma$ 活度校正因子,其中包括 $\gamma$ 射线在样品中的自吸收校正和几何校正. $K$ 为中子注量波动校正因子,其表达式为: $K = [\sum_{i=1}^l \Phi_i \cdot (1 - e^{-\lambda \Delta t_i}) \cdot e^{-\lambda T_i}] / \Phi S$ ,

其中 $l$ 为将照射时间分成的段数; $\Delta t_i$ 为每段的时间

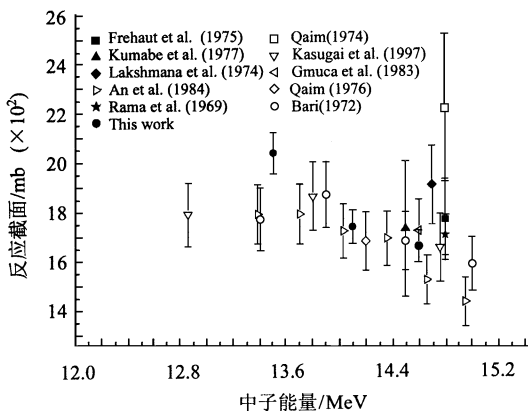


图1  $^{150}\text{Nd}(n,2n)^{149}\text{Nd}$  的反应截面

间隔; $\Phi_i$ 为在 $\Delta t_i$ 内入射到样品上的平均中子注量; $\Phi$ 为在 $T$ 时间内入射到样品上的平均中子注量.

测量结果如表2所示, $^{93}\text{Nb}(n,2n)^{92m}\text{Nb}$ 反应截面值取自文献[19].截面测量的主要误差来源有 $\gamma$ 探测效率1.5%,计数统计0.2%—5.0%,自吸收校正1%,测量几何校正1%,标准截面1.5%,样品称重0.15%,确定平均中子能量的误差2.0%.

表2 本工作的反应截面测量值

核反应	反应截面/mb		
	$E_n = 13.5 \pm 0.2\text{MeV}$	$E_n = 14.1 \pm 0.1\text{MeV}$	$E_n = 14.6 \pm 0.2\text{MeV}$
$^{150}\text{Nd}(n,2n)^{149}\text{Nd}$	2037 ± 85	1737 ± 68	1657 ± 65
$^{148}\text{Nd}(n,2n)^{147}\text{Nd}$	1394 ± 58	1416 ± 54	1956 ± 76
$^{142}\text{Nd}(n,2n)^{141}\text{Nd}$	1501 ± 59	1623 ± 62	1764 ± 111
$^{93}\text{Nb}(n,2n)^{92m}\text{Nb}$ <sup>[19]</sup>	452.4 ± 5.7	459.1 ± 5.6	459.9 ± 5.6

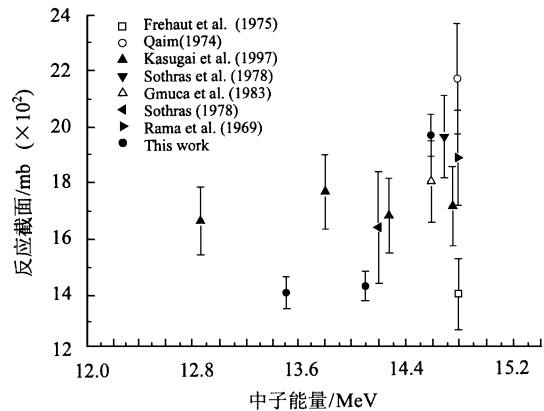


图2  $^{148}\text{Nd}(n,2n)^{147}\text{Nd}$  的反应截面

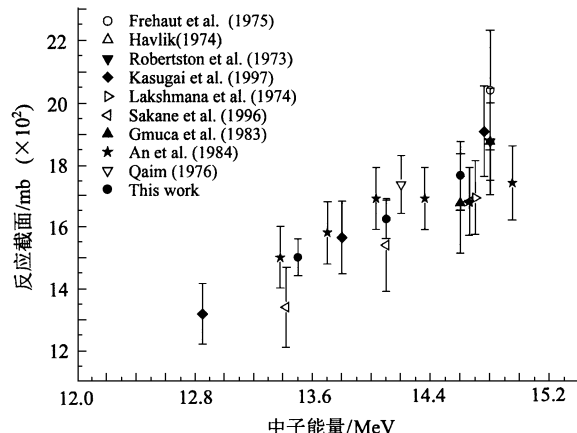


图3  $^{142}\text{Nd}(n,2n)^{141}\text{Nd}$  的反应截面

$^{150}\text{Nd}(n,2n)^{149}\text{Nd}$ ,  $^{148}\text{Nd}(n,2n)^{147}\text{Nd}$  和  $^{142}\text{Nd}(n,2n)^{141}\text{Nd}$  的反应截面值随能量的变化画在图 1—3 中, 在每个图中把已收集到的其他作者的反应截面数据也画在其上。从图 1 可以看出, 在 13.5—14.7 MeV 中子能区,  $^{150}\text{Nd}(n,2n)^{149}\text{Nd}$  反应截面随中子能量增加而减小, 其走向与 An<sup>[7]</sup>, Kasugai<sup>[4]</sup> 和 Bari<sup>[10]</sup> 的截面走向一致, 而 Qaim<sup>[2]</sup> 的截面数据明显比我们

的和其他作者的数据偏大。从图 2 可以看出, 在 13.5—14.7 MeV 中子能区,  $^{148}\text{Nd}(n,2n)^{147}\text{Nd}$  反应截面随中子能量增加而增大。从图 3 中可以看出, 在 13.5—14.7 MeV 中子能区,  $^{142}\text{Nd}(n,2n)^{141}\text{Nd}$  反应截面随中子能量增加而增大, 其走向与 Sakane<sup>[15]</sup> 和 Kasugai<sup>[4]</sup> 的截面走向一致。

## 参考文献(References)

- 1 Frehaut J et al. 5th Sem. on Interact. Of Fast Neutrons, Gaussig, 1975
- 2 Qaim S M. Nuclear Physics, 1974, **A 224**:319
- 3 Kumabe I, Kotake E, Nagahama F. J. of Nuclear Science and Technology, 1977, **14**:319
- 4 Kasugai Y, Ikeda Y, Uno Y. Conf. on Nucl. Data for Sci. and Tech., Trieste, 1997
- 5 Lakshmana Das N, Srinivase Rao C V, Thirumala Rao B V. J. Rama Rao, 17th Nucl. and Solid State Physics Symp., Bombay, 1974
- 6 Gmuca S, Ribansky I. Acta Physica Slovaca, 1983, **33**:9
- 7 An Jong Do et al. J. of Physics, Part G., 1984, **10**:91
- 8 Qaim S M. Radiochem. and Radioanal. Letters, 1976, **25**:335
- 9 Rama Prasad P, Rama Rao J, Kondaiah E. Nuclear Physics, 1969, **A 125**:57
- 10 Bari A. Dissertation Abstracts(Sciences), 1972, **B 32**:509
- 11 Sothras S L, Salaita G N. J. of Inorganic and Nuclear Chemistry, 1978, **40**:585
- 12 Sothras S. Dissertation Abstracts(Sciences), 1978, **B 38**:280
- 13 Havlik E. Acta Physica Austriaca, 1971, **34**:209
- 14 Robertston J C, Audric B, Kolkowski P. Journal of Nuclear Energy, 1973, **27**:531
- 15 Sakane H et al. INDC(JPN)-178/U, 1996, **193**
- 16 Levis V E, Zieba K J. Nucl. Instrum. Methods, 1980, **174**:141
- 17 Brone E, Firestone R B. Table of Radioactive Isotopes, USA, 1996
- 18 WANG Yong-Chang, YUAN Jun-Qian, REN Zhong-Liang et al. High Energy Phys. and Nucl. Phys., 1991, **15**:73 (in Chinese)  
(王永昌, 袁俊谦, 任忠良等人. 高能物理与核物理, 1991, **15**:73)
- 19 Filatenkov A A, Chuvayev A V, Aksenov V N et al. RI-252, 1999

## Cross Section Measurements for ( $n,2n$ ) Reactions on Neodymium Isotopes at the Neutron Energies of 13.5, 14.1 and 14.6 MeV

PU Zhong-Sheng<sup>1,1)</sup> KONG Xiang-Zhong<sup>2</sup> WEI Guo-Cong<sup>1</sup>

1(Department of Physics, Lanzhou University of Technology, Lanzhou 730050, China)

2(Department of Modern Physics, Lanzhou University, Lanzhou 730000, China)

**Abstract** The cross sections for ( $n,2n$ ) reaction are measured on Neodymium isotopes at the neutron energies of 13.5—14.6 MeV using activation technique. The cross section data for the reactions of  $^{150}\text{Nd}(n,2n)^{149}\text{Nd}$ ,  $^{148}\text{Nd}(n,2n)^{147}\text{Nd}$  and  $^{142}\text{Nd}(n,2n)^{141}\text{Nd}$  are reported. The cross sections of  $^{150}\text{Nd}(n,2n)^{149}\text{Nd}$  reaction are  $2037 \pm 85$ ,  $1737 \pm 68$  and  $1657 \pm 65\text{mb}$  at  $13.5 \pm 0.2$ ,  $14.1 \pm 0.1$  and  $14.6 \pm 0.2\text{MeV}$  respectively. The cross sections of  $^{148}\text{Nd}(n,2n)^{147}\text{Nd}$  reaction are  $1394 \pm 58$ ,  $1416 \pm 54$  and  $1956 \pm 76\text{mb}$  at  $13.5 \pm 0.2$ ,  $14.1 \pm 0.1$  and  $14.6 \pm 0.2\text{MeV}$  respectively. The cross sections of  $^{142}\text{Nd}(n,2n)^{141}\text{Nd}$  reaction are  $1501 \pm 59$ ,  $1623 \pm 62$  and  $1764 \pm 111\text{mb}$  at  $13.5 \pm 0.2$ ,  $14.1 \pm 0.1$  and  $14.6 \pm 0.2\text{MeV}$  respectively. The neutron fluences are determined by the cross sections of  $^{93}\text{Nb}(n,2n)^{92m}\text{Nb}$  reaction. The comparison between the present results and the previously published data is made.

**Key words** Neodymium, cross section, activation

Received 4 February 2004

1) E-mail: puzs@tom.com